

松代地震による土の歪観測結果と地中埋設パイプラインの 地震時歪の推定

電力中央研究所 正員 横井彰雄
高橋忠

1. まえがき

地中埋設パイプラインの耐震性について、過去に多くの震害を受けているにもかかわらず多くの不明な点が残されたままになっている。この種の構造物は線状に広がりを持つことから、従来の多くの研究がいわば点の地震動に立脚していること、また構造物が加速度よりは地盤変形により依存する構造であるなどから、従来の地震工学の応用問題としてその耐震性を扱うことができない問題が多い。またその実験的方法につけても地震動の波動的性質を考慮しなければならないため、多くの困難を伴うものである。

昭和40年8月3日、長野県松代町を中心とした松代地震は、地震動の平面的な性質、实物大のモデルによる地震応答観測など、実際の地震動による研究が短期間に得以て、千載一遇の好機ともいべき研究の場を与えてくれるものであった。当所耐震研究室では、この時に当り、東京電力・中部電力KKと共に、中部電力北信変電所構内（長野県篠井・塙崎）において实物の地中電線路について地震応答観測を行った。また、各種の起振実験・弾性波速度試験などを併用して実験的方法について地震観測結果と対比しながら検討を加えた。さらに、地震動の平面的・立体的分布について地震観測を行い、地盤の震動特性を把握する様努めた。これらの結果については、講演題目(1),(7),(8),(10),(21)に述べられますが、地中埋設パイプラインの地震時歪の推定に専念して、北信変電所構内において地震時の土の歪観測を行った。ここで、観測結果の二・三について報告し、また地中埋設パイプラインの地震時歪の推定について検討を加えた。

2. 地震時における土の主歪

(観測方法) 観測には計器を地下40cm、地表面に平行に90°、45°のロゼットを組んで土の主歪が得られる様にしてある。使用した計器は新しく開発した土歪計で、ゲージ長さはこの場合1.7mmとしてある。この土歪計は電磁型で、増幅器を用いて記録器に直結されるので運動電流分が無く長期の地震観測に対して安定である。さらに、念のため地上にゲージ長さ4.5mmにピアノ線を張り電気抵抗線型の歪み計で土の歪を観測した。この他、抵抗線型の土歪計を試作併用した。これらは、ゲージ長さ、見掛けのコンプライアンスを可変出来、地盤に応じて壁ぐる様にあっていい。また土中の地震時土圧を測定するため電磁直結型の土圧計・鉄筋剥離用の土圧計なども用いてある。

(結果) 得られた結果についてこれは目下解説中であるが、土の歪観測結果から計算した主歪について、二つは、報告する。結果を要約すると次の様になる。

- (1) 主歪について最も加速度最大の時が必ずしも歪最大ではなく、加速度が減じてもかなりの歪が残る。
- (2) 一次主歪も二次主歪も同様の波形を示す。これはP波、S波に關係なく記録の全体について

見られる。

(3) 主歪の方向の時間的経過を見ると、P波、S波、表面波部分と思われる記録の各部について特徴を示し、S波部分では方向の変動は激しいが、P波、表面波部分では変動が少く（加速度ベクトルでは変動が激しく、各波部分につきても特徴は明確でない）。

3. 地中埋設パイプラインの地震歪の推定

土の歪観測結果及び項目(1), (8), (10), (21) 土基観測、実験結果より地震時ににおける地中埋設パイプラインの歪推定について二・三の考察を加えることができる。

3.1 地震時ににおける土の歪

パイプラインに主要な歪は軸方向であるから、地震による地動を、

$$Y = a_0 \cdot \sin(\omega t - \phi) \quad (1)$$

と仮定すると、ひずみ ϵ は $\epsilon = -a_0 \beta_0 \cdot \cos(\omega t - \phi)$ であるから、加速度との関係は、

$$\epsilon = C \cdot \frac{T \cdot A}{V} \quad (2)$$

ϵ : 歪 A : 地震加速度
 C : 地震波の種類に關係した定数、表面波 = $1/2\pi$
 T : 周期 V : 地震波の見掛け速度

(2)式によれば、土の歪は地盤の変形速度($T \cdot A$)と
その地盤における地震波の速度の比に比例する。もし、
パイプラインが地盤と同一の動きをするならば、(2)式
の関係はまだ管の歪の関係である。(2)式によれば、次
の様にして地震時ににおける土の歪を推定することができる。

a) 設計上の加速度・周期、または変形速度を決定
する。

b) 埋設予定地盤の弾性波速度を測定する。

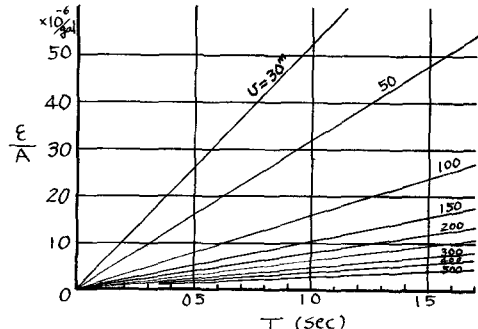
$$c) C = 1/2\pi$$

a)については、過去の地震記録、金井博士の式¹⁾、常時微動測定などが参考になる。しかし最大の歪を与える時は、その入射角(V に關係)その他の理由から加速度最大の時ではなくその後に生ずることに注意すべきである。b)は埋設予定地盤の弾性波速度試験、又は起振実験による地盤振動調査などによって決定できる((2)式の関係は、起振による地盤振動実験によるもので、これらの方は有用である。請演(1), (2) 参照)。c) 定数 C は地震波の種類に關係ある。例えば地表にそって純粹せん断の波があるとすれば、波の進行方向に45°の線にある管が最大の歪を示し、 $C = 1/4\pi$ となる。(しかし、結果(2)にはこの様な現象が見られない)ので、 $1/2\pi$ としておく。なお図1に示す様に弾性波の速度が300 m/sec以下では歪は急速に大きくなるので、この様な軟弱地盤では注意する必要がある。

3.2 管剛性の影響

管に対する地盤の軸方向拘束を、

図1. 管に生ずる歪



$$f = k' u / u_0 \quad (0 \leq u \leq u_0) \quad (3)$$

$$= C_0 \quad (u_0 \leq u) \quad (4)$$

また、 $u = Y - y$ (y : 管の変形) とすると。これは比例限度内にっこ考えるとすると、 $f = k' u / u$ $\equiv k' \cdot n$ としておくのが便利である。地震波 Y を受けける管の軸方向振動方程式は、

$$PA_0 \frac{\partial^2 Y}{\partial t^2} - EA_0 \frac{\partial^2 Y}{\partial x^2} + ky = kA_0 \sin(p(t - \frac{x}{c_0})) \quad (5)$$

A_0 : 管の断面積

この解は簡単に求まり、

$$Y = \frac{1}{1 + (\frac{p}{\omega_0})^2 \left(\frac{v_a}{c_0} \right)^2 - (\frac{p}{\omega_0})^2} \cdot Y(t, x) \quad (6)$$

こゝに、 $v_a = \sqrt{E/\rho}$ (管を伝わる継波の速度) $\omega_0 = \sqrt{k/PA_0}$ (管を剛体としたときの固有(円)振動数) である。 ω_0 は、地震動の周波数範囲に対し大きな値を示すから慣性項を無視して、ばね定数による管の変形の減率を計算した一例を図2に示した。同様に、横方向振動について、減率を計算すると、同一の灰値にっこ横方向ではほかに減率が小さい。250A管についての実験では $\ell > 130 \text{ kg/cm/mm}$ であり、横方向変形に対する減率はほとんどのとしてよい。

3.3 管と地盤が一体でない時の歪

(直管部限界歪) $u = Y - y \geq u_0$ のとき地盤と管にこりを生ずる。こりを生ずる時の地震動は、

$$\frac{UT}{2\pi} = \frac{AT^2}{4\pi^2} = u_0 \left\{ 1 + \frac{1}{(\frac{p}{\omega_0})^2 \left(\frac{v_a}{c_0} \right)^2} \right\} \quad (7)$$

で与えられる。管全体にこりが生ずる程の地震に対し管に生ずる歪の限界は、

$$\epsilon_u = \frac{C_0 UT}{4EA_0} \quad (A_0: 管の断面積) \quad (8)$$

である。

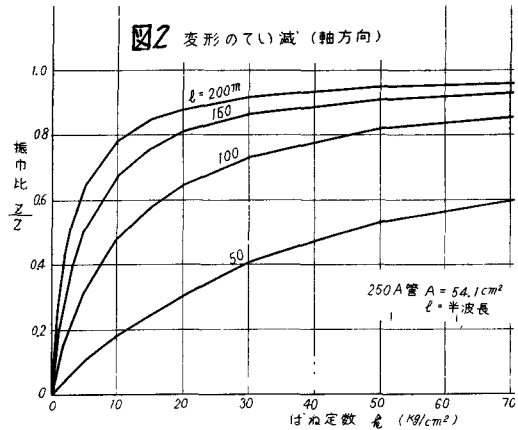
(部分的に固定されてこり管の歪) 管路には、マニホール、曲管・分歧管部・異形部など地盤と同一の動きをする部分が含まれる。これら各部間の長さを L とする。こりが全体に及ぶ程の地震に対して、入間に生ずる歪 ϵ_m は、

$$\epsilon_m = \frac{1}{2\pi^2} \cdot \frac{AT}{U} \cdot \frac{L}{2\lambda} \left\{ 1 - \sin \frac{2\pi}{4} (1 + \frac{4\lambda}{L}) \right\} \quad (9)$$

こゝに、 L は地震波長である。 $2\lambda = UT' (= L)$ なるとき、

$$\epsilon_m = \frac{1}{\pi^2} \cdot \frac{AT'}{U} \quad (10)$$

となる。 T' がその地盤の卓越周期に近ければ AT' が増加されるから¹⁾、 $\lambda = UT'/2$ ほど入間にこりは全体が損傷を受ける程の大きな地震ではなくても管の他の部分に比べ被害をうけ易いと言える。その意味で、入は危険な長さであると考えられよう。



4. あとがき

本報告は、松代地震を利用して行った地盤震動観測、埋設管の応答観測、土の歪観測の結果、及び各種起振実験結果を基にして地中埋設パイアラインの地震時ににおける歪の推定を試みたものである。現段階では、大きな単純化を行なざるを得ないが、不明な点の多い地中埋設パイアラインの地震時挙動を解明する一つの糸口となるものと考え、あえて報告する次第である。本報告は東京電力、中部電力と共同して行った各種実験を基にしてしたものであり、両社の御協力を心から感謝する次第である。

参考文献

- 1) 大築志夫・金井清「耐震設計」コロナ社
- 2) 国本輝三「地震力を考慮した構造物設計法(改訂版)」オーム文庫
- 3) 高橋忠他「松代地震による電力施設・機器の耐震研究(座報)」電研・技研報告 66078
1967.3
- 4) 桥井・高橋・野口・岩井他「松代地震を利用して超高压地中電線路埋設管の耐震性研究」電研報告・1967

